

## · 论著 ·

# 短程低氧条件下乳腺癌 BT549 细胞表达 beclin 1 基因对上皮间质转化的影响

郑临海 吴爱国 范旭龙 王梦川 邵国利 纪术峰 焦庆丽

**【摘要】 目的** beclin 1 基因慢病毒表达载体稳定感染三阴性乳腺癌 BT549 细胞后,于短程低氧条件下探讨 beclin 1 基因对上皮间质转化(EMT)的影响。**方法** 用带有 pLenO-GTP Vector 及 pLenO-GTP-beclin 1 Vector 的慢病毒以感染复数(MOI)为 20 分别感染 BT549 细胞,即实验对照组及实验组,未感染细胞作为空白对照。感染 96 h 后用倒置荧光显微镜观察荧光,估计感染效率;用 Western blot 法检测 beclin 1 基因是否在 BT549 细胞中稳定表达;将各组细胞低氧培养 12、24 h 后采用荧光定量 PCR、Western blot 法及激光共聚焦显微镜检测 EMT 相关标志物;用 Western blot 法检测低氧培养 24 h 后的各组细胞 Wnt/β-catenin 信号通路的相关蛋白表达水平。用两样本 *t* 检验分析低氧时间对细胞 EMT 相关标志物的表达情况,余计量资料用方差分析进行统计。**结果** 慢病毒感染 BT549 细胞 96 h 后,感染效率约为 100%,实验组 beclin 1 蛋白高效稳定表达( $F=107.200, P=0.000$ );低氧条件下,相对于空白对照组、实验对照组,实验组细胞的上皮标志物 E-cadherin mRNA 和蛋白表达水平上调(12 h:  $F=122.451, P=0.000, F=29.651, P=0.001$ ; 24 h:  $F=108.783, P=0.000, F=41.232, P=0.000$ ),而间皮标志物 N-cadherin、vimentin 及 fibronectin 表达水平下调(12 h: N-cadherin  $F=92.918, P=0.000, F=138.034, P=0.000$ , vimentin  $F=135.313, P=0.000, F=39.765, P=0.000$ , fibronectin  $F=144.275, P=0.000$ ; 24 h: N-cadherin  $F=76.064, P=0.000, F=40.614, P=0.000$ , vimentin  $F=206.576, P=0.000, F=46.658, P=0.000$ , fibronectin  $F=411.405, P=0.000$ );相对于低氧培养 12 h,各组细胞低氧培养 24 h 后 E-cadherin 表达水平下调(空白对照组:  $t=4.266, P=0.013$ ,  $t=11.235, P=0.000$ ; 实验对照组:  $t=10.463, P=0.000, t=4.092, P=0.009$ ; 实验组:  $t=28.208, P=0.000, t=7.262, P=0.001$ ),而 N-cadherin(实验组除外)、vimentin 和 fibronectin 表达水平上调(空白对照组: N-cadherin  $t=3.072, P=0.037$ ,  $t=7.146, P=0.002$ , vimentin  $t=6.384, P=0.003$ ,  $t=7.476, P=0.002$ , fibronectin  $t=8.389, P=0.001$ ; 实验对照组: N-cadherin  $t=2.805, P=0.049$ ,  $t=5.352, P=0.006$ , vimentin  $t=12.701, P=0.000$ ,  $t=5.923, P=0.004$ , fibronectin  $t=7.318, P=0.002$ ; 实验组: N-cadherin  $t=7.849, P=0.001$ ,  $t=1.987, P=0.184$ , vimentin  $t=11.097, P=0.000$ ,  $t=13.626, P=0.000$ , fibronectin  $t=11.003, P=0.000$ ); beclin 1 基因与低氧环境对 BT549 细胞 E-cadherin、N-cadherin 的表达水平有交互效应(E-cadherin:  $F=19.175, P=0.000, F=5.588, P=0.015$ ; N-cadherin:  $F=8.238, P=0.006, F=5.934, P=0.016$ );低氧培养 24 h 后,实验组 Wnt/β-catenin 信号通路的 β-catenin、Snail 蛋白水平下调(β-catenin:  $F=18.169, P=0.003$ ; Snail:  $F=11.098, P=0.010$ ),而 p-GSK-3β 的蛋白水平上调( $F=36.096, P=0.000$ )。**结论** beclin 1 基因在短程低氧条件下抑制 BT549 细胞 EMT,而随时间的增加低氧促进 EMT; beclin 1 基因在短程低氧环境下抑制 EMT 的机制可能与 Wnt/β-catenin 信号通路有关。

**【关键词】** 乳腺肿瘤; 细胞低氧; 上皮间质转化; beclin 1

**【中图法分类号】** R737.9

**【文献标志码】** A

**Influence on epithelial-mesenchymal transition by transfecting beclin 1 in breast cancer BT-549 cells under short-term hypoxic condition** Zheng Linhai, Wu Aiguo, Fan Xulong, Wang Mengchuan, Shao Guoli,

DOI:10.3877/cma.j.issn.1674-0807.2014.01.004

基金项目:广东省自然科学基金资助项目(S2012010009276)

作者单位:510282 广州,南方医科大学珠江医院普外科

通信作者:吴爱国,Email:wagtyz@sina.com

Ji Shufeng, Jiao Qingli. Department of General Surgery, Zhujiang Hospital, Southern Medical University, Guangzhou 510282, China.

Corresponding author: Wu Aiguo, Email: wagtyz@sina.com

**[Abstract]** **Objective** To study the effect of beclin 1 gene on epithelial-mesenchymal transition (EMT) in triple-negative breast cancer BT-549 cells under short-term hypoxic condition. **Methods** The pLenO-GTP-beclin 1 and pLenO-GTP lentivirus were infected into triple-negative breast cancer BT-549 cells respectively with (multiplicity of infection, MOI) = 20, which served as experimental group and negative control, uninfected BT-549 cells as blank control. The efficiency was evaluated by fluorescence at 96 h after infection, and beclin 1 protein were detected by Western blot. Then the cells were cultured under hypoxic condition for 12 h and 24 h. The mRNA levels of EMT markers were detected by RT-PCR, protein levels were detected by Western blot and laser scanning confocal microscope. At last, the levels of Wnt/β-catenin related proteins were detected by Western blot in three groups under hypoxic condition for 24 h. The effect of hypoxic time on EMT was analyzed by two-sample *t*-test, the other measurement data were analyzed using analysis of variance (ANOVA). **Results** The efficiency was approximately 100% at 96 h after infection, and the expression of beclin 1 protein was increased evidently in experimental group ( $F = 107.200$ ,  $P = 0.000$ ). Compared with negative control and blank control, the mRNA and protein levels of E-cadherin (epithelial marker) were upregulated in experimental group under hypoxic condition (12 h:  $F = 122.451$ ,  $P = 0.000$ ;  $F = 29.651$ ,  $P = 0.001$ ; 24 h:  $F = 108.783$ ,  $P = 0.000$ ;  $F = 41.232$ ,  $P = 0.000$ ), but the levels of N-cadherin, vimentin and fibronectin (mesenchymal markers) were downregulated (12 h: N-cadherin  $F = 92.918$ ,  $P = 0.000$ ;  $F = 138.034$ ,  $P = 0.000$ ; vimentin  $F = 135.313$ ,  $P = 0.000$ ;  $F = 39.765$ ,  $P = 0.000$ ; fibronectin  $F = 144.275$ ,  $P = 0.000$ ; 24 h: N-cadherin  $F = 76.064$ ,  $P = 0.000$ ;  $F = 40.614$ ,  $P = 0.000$ ; vimentin  $F = 206.576$ ,  $P = 0.000$ ;  $F = 46.658$ ,  $P = 0.000$ ; fibronectin  $F = 411.405$ ,  $P = 0.000$ ). Compared with 12 h, the mRNA and protein levels of E-cadherin were downregulated (blank control:  $t = 4.266$ ,  $P = 0.013$ ;  $t = 11.235$ ,  $P = 0.000$ ; negative control:  $t = 10.463$ ,  $P = 0.000$ ;  $t = 4.092$ ,  $P = 0.009$ ; experimental group:  $t = 28.208$ ,  $P = 0.000$ ;  $t = 7.262$ ,  $P = 0.001$ ) and the levels of N-cadherin (except the experimental group), vimentin and fibronectin were upregulated (blank control: N-cadherin  $t = 3.072$ ,  $P = 0.037$ ;  $t = 7.146$ ,  $P = 0.002$ ; vimentin  $t = 6.384$ ,  $P = 0.003$ ;  $t = 7.476$ ,  $P = 0.002$ ; fibronectin  $t = 8.389$ ,  $P = 0.001$ ; negative control: N-cadherin  $t = 2.805$ ,  $P = 0.049$ ;  $t = 5.352$ ,  $P = 0.006$ ; vimentin  $t = 12.701$ ,  $P = 0.000$ ;  $t = 5.923$ ,  $P = 0.004$ ; fibronectin  $t = 7.318$ ,  $P = 0.002$ ; experimental group: N-cadherin  $t = 7.849$ ,  $P = 0.001$ ;  $t = 1.987$ ,  $P = 0.184$ ; vimentin  $t = 11.097$ ,  $P = 0.000$ ;  $t = 13.626$ ,  $P = 0.000$ ; fibronectin  $t = 11.003$ ,  $P = 0.000$ ) in these groups under hypoxic condition for 24 h. For the expression of E-cadherin and N-cadherin, there was an interaction between beclin 1 and hypoxic stimulation (E-cadherin:  $F = 19.175$ ,  $P = 0.000$ ;  $F = 5.588$ ,  $P = 0.015$ ; N-cadherin:  $F = 8.238$ ,  $P = 0.006$ ;  $F = 5.934$ ,  $P = 0.016$ ). Expressions of Wnt/β-catenin related proteins including β-catenin, snail were increased in experimental group (β-catenin:  $F = 18.169$ ,  $P = 0.003$ ; Snail:  $F = 11.098$ ,  $P = 0.010$ ), while p-GSK-3β was decreased ( $F = 36.096$ ,  $P = 0.000$ ) under hypoxic condition for 24 h. **Conclusions** Under short-term hypoxic condition, beclin 1 gene inhibits EMT of BT-549 cells, but hypoxia promotes EMT with the increased hypoxic time. Wnt/β-catenin signaling pathway may be involved in the mechanism of EMT inhibition of beclin 1 gene under hypoxic condition.

**[Key words]** Breast neoplasms; Cell hypoxia; Epithelial-mesenchymal transition; beclin 1

乳腺癌发病率占全球女性肿瘤的第一位(占女性全部癌症病例数的 23%),且乳腺癌导致的死亡病例占所有肿瘤致死病例的 14%<sup>[1]</sup>;三阴性乳腺癌是一种 ER、PR 和 HER-2 表达均为阴性的特殊乳腺癌类型,约占女性乳腺癌发病率的

15%,其转移早、预后差,现在主要的治疗方式是手术及新辅助化疗。

自噬是细胞在恶劣条件下确保其生存的基本应激反应,beclin 1 是启动细胞自噬的必需基因<sup>[2]</sup>。BT549 细胞存在 beclin 1 等位基因缺失,转

染 beclin 1 基因后于正常及低氧环境下可抑制细胞的增殖、降低其迁移能力和促进自噬<sup>[3]</sup>。肿瘤的恶性进展过程中,上皮间质转化(epithelial-mesenchymal transition, EMT)促进肿瘤细胞浸润、迁移和远处转移能力。研究证实 EMT 与三阴性乳腺癌有着密切的关系<sup>[4]</sup>。笔者团队前期研究证实 beclin 1 基因能抑制 BT549 细胞发生 EMT<sup>[3]</sup>,本实验旨在研究在短程低氧条件下乳腺癌细胞 BT549 beclin 1 基因表达与 EMT 的关系。

## 1 材料与方法

### 1.1 实验材料

三阴性人乳腺癌 BT549 细胞购自中国科学院上海分院细胞库,pLenO-GTP Vector、pLenO-GTP-beclin 1 Vector 的构建及慢病毒的包装委托上海英为信生物科技有限公司完成,Trizol 试剂盒、PrimeScript 逆转录试剂盒和 SYBR® Premix Ex Taq™ II (Tli RNaseH Plus) 试剂盒购自日本 TaKaRa 公司,兔抗人 beclin 1、β-catenin、Snail、p-GSK-3β 多克隆抗体购自美国 Cell Signaling Technology 公司,兔抗人 E-cadherin、N-cadherin、vimentin 多克隆抗体购自美国 Signalway Antibody 公司,Alexa Fluor 594 驴抗兔 IgG 二抗购自美国 Invitrogen 公司,RIPA 裂解液(强)、BCA 蛋白浓度测定试剂盒购自上海碧云天生物技术研究所, RPMI1640 培养基和胎牛血清购自美国 Hyclone 公司。

### 1.2 细胞培养

BT549 细胞培养于含 10% 胎牛血清的 RPMI 1640 培养液,置于 37 ℃、5% CO<sub>2</sub> 孵箱内。低氧培养至细胞融合度约为 80% 左右置于 1% O<sub>2</sub>、94% N<sub>2</sub>、5% CO<sub>2</sub> 培养箱内培养 12 h 和 24 h。

### 1.3 细胞转染及分组

BT549 细胞在 24 孔培养板中以细胞数 5 × 10<sup>4</sup>/孔接种若干孔,每孔培养基体积为 100 μl,进行病毒感染时细胞的融合度约为 70% 左右;第 2 天观察细胞生长状态,若细胞状态较好就吸去旧的培养基,加入含有感染复数(multiplicity of infection, MOI)为 20 的 beclin 1 基因慢病毒量和绿色荧光蛋白(green fluorescent protein, GFP)对照病毒量的完全培养基 500 μl,即实验组和实验对照组,24 h 后将含有慢病毒的培养液更换成正常培养液,感染 96 h 用 DAPI 染核后倒置显微镜观察 GFP 表达

情况,估计感染效率。其中,未加病毒的 BT549 细胞为空白对照组。用 Western blot 法确认 beclin 1 基因稳定表达后进行后续实验。

### 1.4 RT-PCR 检测细胞低氧培养后 EMT 相关标志物 mRNA 表达情况

待细胞融合度 80% 左右低氧培养 12、24 h 后提取各组细胞总 RNA,ND-100 分光光度计测得 RNA 的纯度和含量,并按 PrimeScript 逆转录试剂盒说明书合成 cDNA,然后以 20 μl 反应体系 SyberGreen 荧光定量 PCR 检测。PCR 热循环参数:95 ℃ 预变性 30 s,95 ℃ 变性 5 s,60 ℃ 退火 34 s,40 个循环。用 2<sup>-ΔΔCt</sup> 法计算 mRNA 的变化。各基因的引物序列如下:E-钙黏蛋白(E-cadherin, 161 bp):上游引物为 5'-AGTCACGCTGAATACAGTGG-3',下游引物为 5'-CATTTCAGCTGGCAGCTGATG-3';N-钙黏蛋白(N-cadherin, 158 bp):上游引物为 5'-CATGCAGTCTTATCG AAGG-3',下游引物为 5'-GA AAGCTTCTCACGGC ATAC-3';波形蛋白(vimentin, 278 bp):上游引物为 5'-CGCCAGATGCGTGAAA TGG-3',下游引物为 5'-ACCAGAGGGAGTGAATC CAGA-3';纤维结合蛋白(fibronectin, 156 bp):上游引物为 5'-TTCCCTTGCTGGTATCATGGCA-3',下游引物为 5'-TATTCGGTTCCCGGTCCA-3';β-actin (594 bp):上游引物为 5'-AGACGCCAAGAACCA GG-3',下游引物为 5'-GGAGTFCAGAGGGAAAGGC AC-3'。

### 1.5 Western blot 检测细胞 EMT 相关标志物及 Wnt/β-catenin 信号通路的蛋白表达情况

3 组细胞接种在六孔板贴壁后分别低氧培养 12、24 h,严格按照 RIPA 裂解液(强)和 BCA 蛋白浓度测定试剂盒说明书提取总蛋白并测定蛋白浓度,按 4 : 1 体积加 5×上样缓冲液,100 ℃ 煮沸 10 min,-80 ℃ 保存。等量蛋白样品 30 μg 进行 10% SDS-PAGE 电泳,浓缩胶 80V 至上下胶分离处,分离胶 120 V 70 min,转膜 200 mA 120 min,室温下 5% 脱脂奶粉封闭 1 h,孵育一抗(E-cadherin、N-cadherin、vimentin、β-catenin、Snail 和 p-GSK-3β)4 ℃ 震荡过夜,各一抗的稀释比率为 1 : 500(β-actin 为 1 : 3000),TBST 洗膜 3 次,每次 5 min,孵育 800 nm 近红外二抗(抗兔)避光震荡 2 h, TBST 避光洗膜 3 次,每次 5 min,在 Odyssey 近红外双色激光成像系统(型号:9120,美

国 LI-COR 公司)上扫膜,结果用 Quantity One 4.6.2 软件分析。

### 1.6 激光共聚焦显微镜观察细胞低氧培养后 EMT 相关标志物蛋白表达情况

在玻底培养皿加入 3 ml 培养液,在培养箱中放置 15 min。吸去培养液,在底孔中加入 500  $\mu$ l 含适量细胞的培养液,培养箱放置 2 h,让细胞沉淀贴壁,贴壁后培养液增至 1 ml。细胞完全伸展后低氧培养 24 h 后固定、1% Triton 破膜、封闭,用稀释比率为 1 : 100 的一抗 (E-cadherin、N-cadherin、vimentin)4 ℃ 孵育过夜,PBS 洗 3 遍后稀释比率为 1 : 100 的 Alexa Fluor 594 驴抗兔 IgG 二抗 4 ℃ 孵育 2 h, DAPI 染核 20 min,PBS 洗 3 遍后 FV10i-W 型智能激光扫描共聚焦显微镜(日本 Olympus 公司)下拍照,荧光强度用 Image Pro Plus 6.0 软件分析。

### 1.7 统计学分析

应用 SPSS 18.0 软件进行统计学分析,RT-PCR、Western blot 和激光共聚焦图片荧光分析结果以  $\bar{x} \pm s$  表示,采用析因设计分析转染 beclin 1 基因和低氧刺激对各组细胞 EMT 相关标志物表达

水平变化的交互作用,其余计量资料按单因素方差分析,多个样本均数如满足方差齐性采用 SNK 法进行两两比较,如不满足方差齐性则采用 Dunnett's T3 统计,两样本均数比较用 t 检验,  $P < 0.05$  认为差异有统计学意义。

## 2 结果

### 2.1 慢病毒感染 BT549 细胞及 beclin 1 基因蛋白表达情况

慢病毒感染 BT549 细胞 96 h 用 DAPI 染核后倒置荧光显微镜观察 GFP 表达,结果显示慢病毒以 MOI 值为 20 感染 BT549 细胞时,其感染效率约为 100% (图 1)。Western blot 测定 beclin 1 蛋白表达情况:在相对分子质量 ( $M_r$ ) = 42 000 处,空白对照组、实验对照组和实验组的内参  $\beta$ -actin 相对较齐,在  $M_r$  = 60 000 的目的蛋白 beclin 1 处,实验组的相对印迹条带灰度 ( $1.453 \pm 0.192$ ) 明显强于空白对照组和实验对照组,组间差异具有统计学意义 [( $0.313 \pm 0.098$ ) 比 ( $0.274 \pm 0.061$ ),  $F = 107.200, P = 0.000$ ], 而空白对照组和实验对照组间差异无统计学意义 ( $P = 0.684$ ) (图 2)。

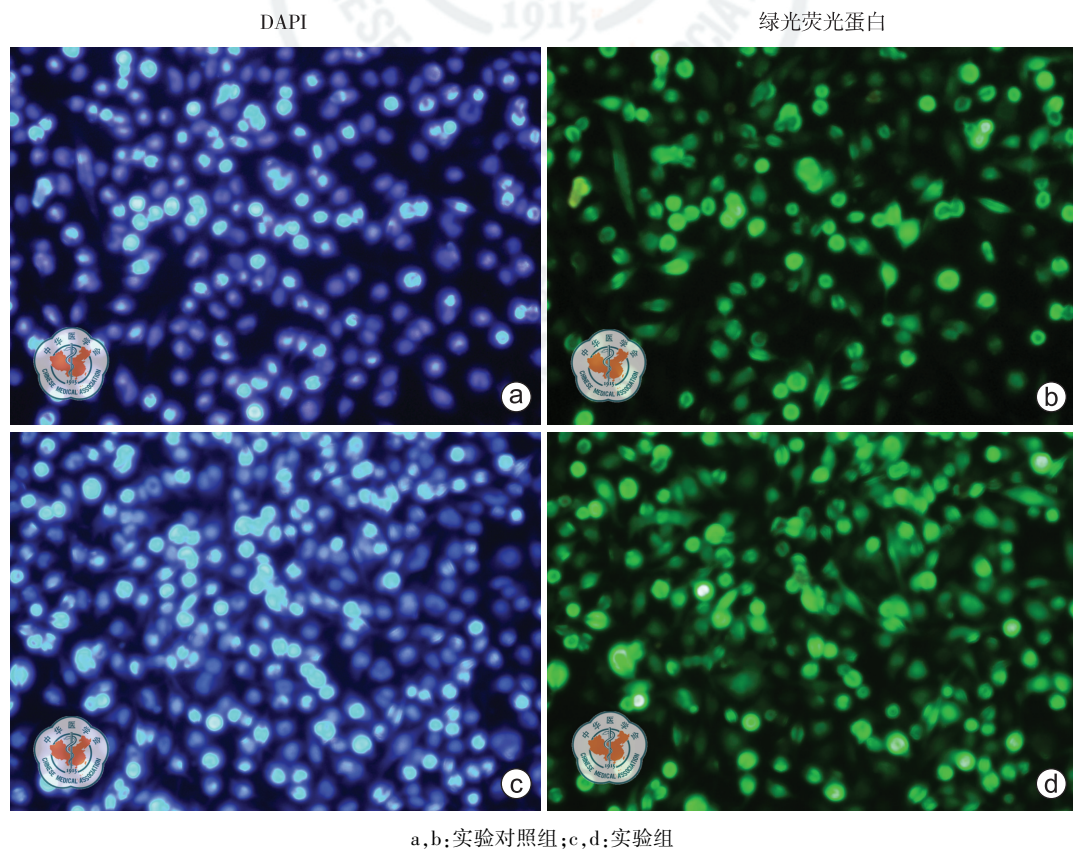


图 1 倒置荧光显微镜下观察慢病毒感染 BT549 细胞效率(DAPI 染核  $\times 200$ )

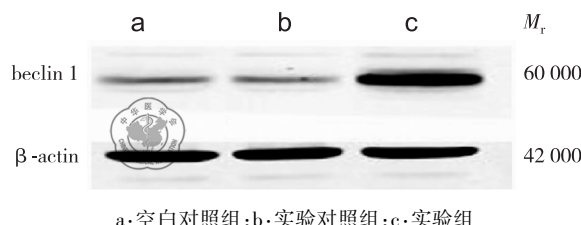


图2 Western blot 检测细胞 beclin 1 蛋白表达情况

## 2.2 短程低氧条件下 EMT 相关标志物 mRNA 表达

各组细胞低氧培养 12 h 和 24 h 后,各组间 EMT 相关标志物 mRNA 表达水平差异都具有统计学意义。与空白对照组和实验对照组相比,实验组两时间点的 E-cadherin mRNA 表达水平均升

高,N-cadherin、vimentin、fibronectin 的 mRNA 表达水平均下降,而空白对照组与实验对照组间差异无统计学意义;不同低氧时间之间 EMT 相关 mRNA 表达差异有统计学意义,E-cadherin、fibronectin mRNA 表达水平随低氧时间下降,N-cadherin、vimentin mRNA 表达水平随低氧时间升高,统计结果详见表 1。转染 beclin 1 基因和低氧刺激对 E-cadherin、N-cadherin 的 mRNA 表达水平有交互作用(E-cadherin: $F=19.175, P=0.000$ ; N-cadherin  $F=8.238, P=0.006$ ),对 vimentin、fibronectin 的 mRNA 表达水平没有交互作用(vimentin: $F=2.046, P=0.172$ ; fibronectin: $F=0.829, P=0.460$ ) (图 3)。

表1 各组细胞低氧培养 12、24 h 后 EMT 相关标志物相对 mRNA 表达水平

组别	培养 12 h 后				培养 24 h 后			
	E-cadherin	N-cadherin	vimentin	fibronectin	E-cadherin	N-cadherin	vimentin	fibronectin
空白对照组	1.067±0.111	1.074±0.070	1.078±0.070	1.080±0.075	0.767±0.050	1.215±0.038	1.416±0.059	1.526±0.053
实验对照组	1.079±0.037	1.087±0.067	0.933±0.049	1.181±0.091	0.792±0.030	1.213±0.039	1.393±0.039	1.609±0.045
实验组	1.828±0.018	0.458±0.056	0.339±0.054	0.270±0.041	1.190±0.035	0.817±0.057	0.749±0.035	0.630±0.040
F 值	122.451	92.918	135.313	144.275	108.783	76.064	206.576	411.405
P 值	0.000	0.000	0.000	0.000	0.000	0.000	0.000	0.000

组内两时间点的比较采用  $t$  检验, $P$  均 $<0.05$ ;组间两两比较采用 SNK 法(培养 12 h 后 E-cadherin mRNA 水平因方差不齐,故采用 Dunnett's T<sub>3</sub> 法), $P$  均 $<0.05$

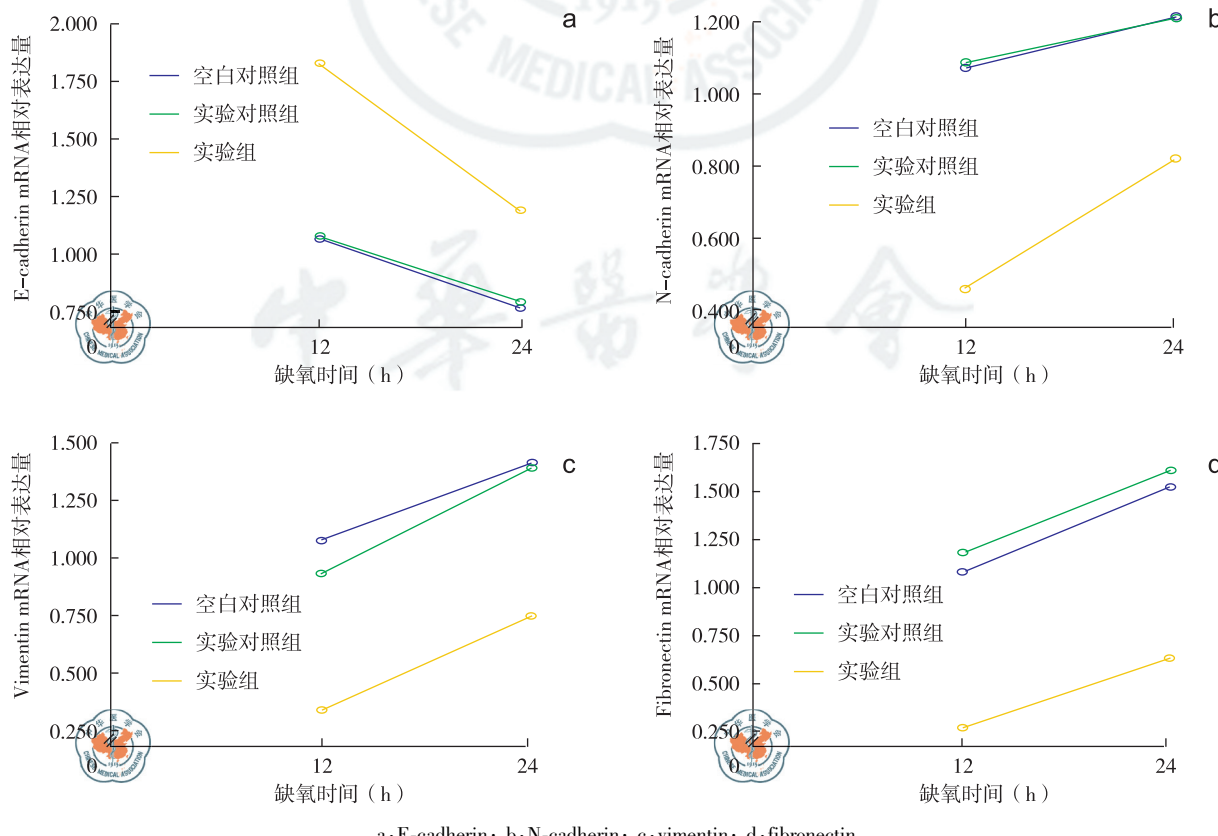


图3 各组细胞分别在低氧培养 12 h 和 24 h 后 EMT 相关标志物 mRNA 的表达变化

**2.3 短程低氧条件下 EMT 相关标志物蛋白表达**  
 低氧 12 h 和 24 h 后, Western blot 检测各组 EMT 相关标志物蛋白表达水平,结果显示:各组细胞在 12 h 和 24 h 两时间点的 E-cadherin、N-cadherin、vimentin 蛋白表达水平差异都具有统计学意义,与空白对照组和实验对照组比较,实验组的 E-cadherin 蛋白表达水平上调,N-cadherin、vimentin 的蛋白表达水平下调,而空白对照组和实验对照组间差异无统计学意义(统计结果详见表 2);除实验组两时间点 N-cadherin 蛋白表达无差异外,不同低氧时间点之间 EMT 相关蛋白表达差异有统计学意义,E-cadherin 蛋白表达水平随低氧时间下调,N-cadherin、vimentin 蛋白表达水平随低氧时间上调(图 4);转染 beclin 1 基因和低氧刺激对 E-cadherin、N-cadherin 的蛋白表达水平有交互作用 (E-cadherin:  $F = 5.588$ ,  $P = 0.015$ ; N-cadherin:  $F = 5.934$ ,  $P = 0.016$ ), 对 vimentin 的蛋白表达水平没有交互作用 ( $F = 0.107$ ,  $P = 0.900$ )

(图 5)。各组细胞低氧培养 24 h 后,激光共聚焦显微镜镜下观察 EMT 相关标志物蛋白表达水平,结果显示:各组 E-cadherin、N-cadherin、vimentin 蛋白表达水平差异都具有统计学意义,实验组 E-cadherin 表达的荧光强度( $40738.018 \pm 5343.637$ )高于空白对照组( $28385.496 \pm 4143.292$ )和实验对照组( $28804.766 \pm 7691.387$ ), N-cadherin、vimentin 表达的荧光强度( $11933.560 \pm 2269.632$ 、 $46768.475 \pm 2379.603$ )低于空白对照组( $28275.775 \pm 5505.788$ 、 $69393.337 \pm 9212.869$ )和实验对照组( $25488.893 \pm 5167.678$ 、 $68975.898 \pm 10373.393$ ),而空白对照组和实验对照组间差异无统计学意义(图 6,统计结果详见表 3)。

#### 2.4 Wnt/ $\beta$ -catenin 信号通路表达水平

各组细胞低氧培养 24 h 后,组间 p-GSK-3 $\beta$ 、 $\beta$ -catenin、Snail 的蛋白表达水平差异具有统计学意义,相对于空白对照组和实验对照组,实验组  $\beta$ -catenin、Snail 的蛋白表达水平均下调,p-GSK-3 $\beta$

表 2 各组细胞低氧培养 12、24 h 后 EMT 相关标志物蛋白表达

组别	培养 12 h 后			培养 24 h 后		
	E-cadherin	N-cadherin	vimentin	E-cadherin	N-cadherin	vimentin
空白对照组	0.326 $\pm$ 0.023	0.687 $\pm$ 0.021	0.421 $\pm$ 0.039	0.183 $\pm$ 0.011	0.839 $\pm$ 0.030	0.616 $\pm$ 0.023
实验对照组	0.288 $\pm$ 0.040	0.723 $\pm$ 0.009	0.426 $\pm$ 0.032	0.198 $\pm$ 0.018	0.800 $\pm$ 0.023	0.610 $\pm$ 0.043
实验组	0.494 $\pm$ 0.040	0.552 $\pm$ 0.003	0.231 $\pm$ 0.017	0.306 $\pm$ 0.030	0.604 $\pm$ 0.045	0.410 $\pm$ 0.015
F 值	29.651	138.034	39.765	41.232	40.614	46.658
P 值	0.001	0.000	0.000	0.000	0.000	0.000

组内两时间点的比较采用  $t$  检验,除实验组两时间点 N-cadherin 蛋白表达无差异外, $P$  均 $<0.05$ ;组间两两比较采用 SNK 法, $P$  均 $<0.05$

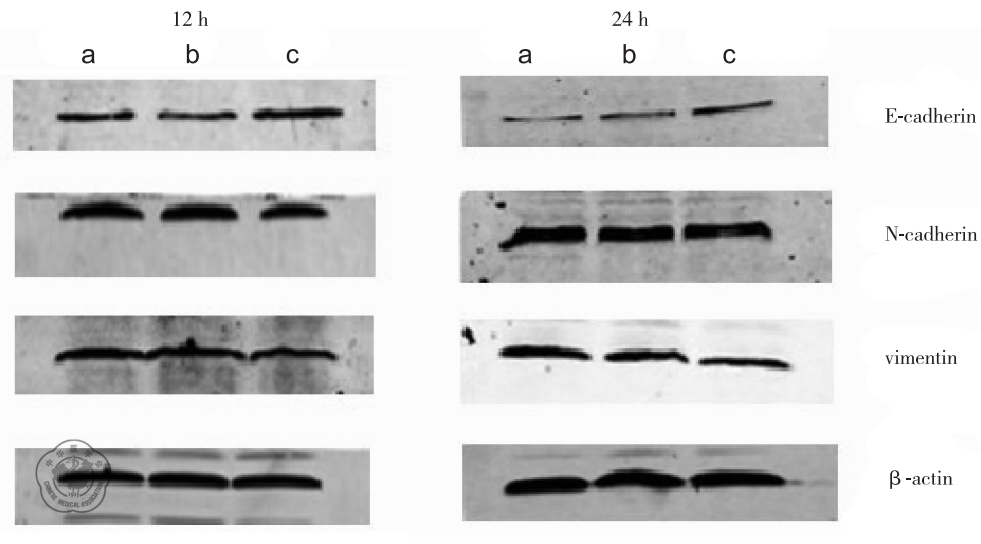


图 4 Western blot 检测各组细胞低氧培养 12 h 和 24 h 后 EMT 相关标志物蛋白表达情况

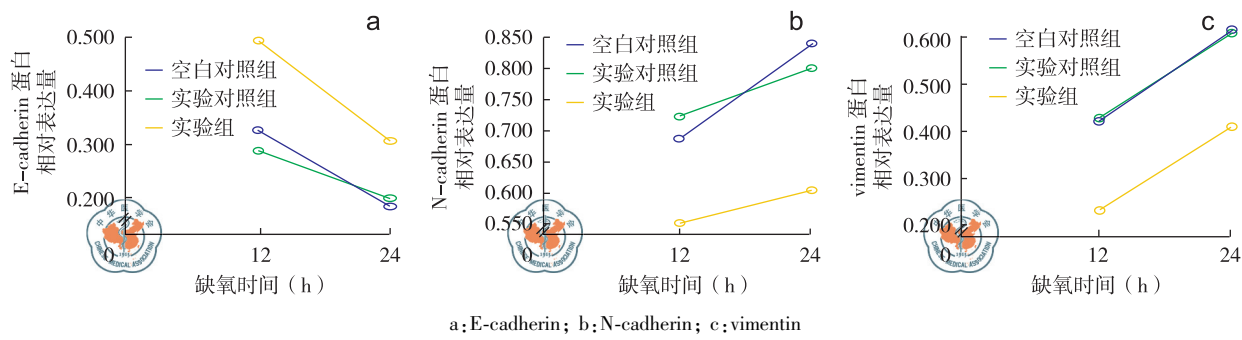


图5 各组细胞分别在低氧培养12 h和24 h后EMT相关标志物蛋白的表达变化

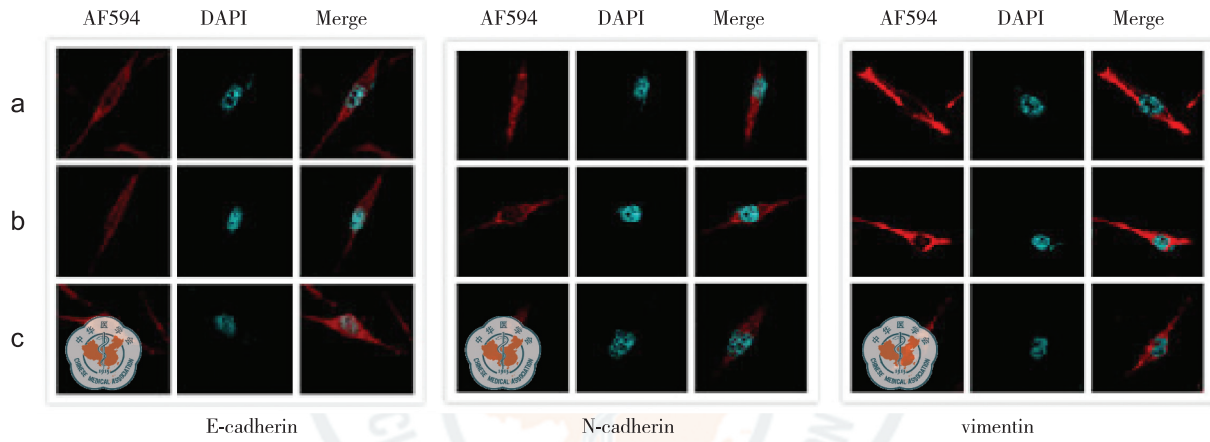
图6 激光共聚焦显微镜观察各组细胞低氧培养24 h后EMT相关标志物蛋白表达( $\times 600$ )

表3 各组细胞低氧培养24 h后EMT相关标志物蛋白荧光强度

组别	E-cadherin	N-cadherin	vimentin
空白对照组	28 385.496±4143.292	28 275.775±5505.788	69 393.337±9212.869
实验对照组	28 804.766±7691.387	25 488.893±5167.678	68 975.898±10 373.393
实验组	40 738.018±5343.637	11 933.560±2269.632	46 768.475±2379.603
F值	5.629	14.753	10.146
P值	0.026	0.001	0.005

组间两两比较采用SNK法,  $P$ 均<0.05

的蛋白表达水平上调, 而空白对照组和实验对照组间差异无统计学意义(图7,统计结果详见表4)。

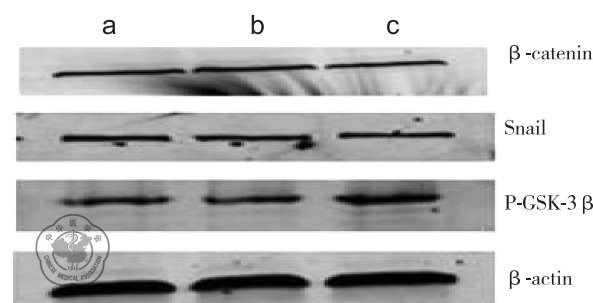


图7 Western blot检测各组细胞低氧培养24 h后Wnt/β-catenin信号通路相关蛋白表达

表4 各组细胞低氧培养24 h后Wnt/β-catenin信号通路相关蛋白表达

组别	β-catenin	Snail	p-GSK-3β
空白对照组	0.553±0.038	0.298±0.056	0.244±0.029
实验对照组	0.554±0.032	0.302±0.036	0.219±0.030
实验组	0.369±0.055	0.168±0.018	0.390±0.018
F值	18.169	11.098	36.096
P值	0.003	0.010	0.000

组间两两比较采用SNK法,  $P$ 均<0.05

### 3 讨论

肿瘤的远处转移是治疗过程中遇到最棘手的

问题,也是患者生存率降低的最重要原因。目前认为,循环肿瘤细胞(CTCs)是导致肿瘤远处转移的重要原因,并且,CTCs的数量和特殊的分子表型与CTCs的转移能力密切相关<sup>[5]</sup>。研究证实,EMT与CTCs从原发肿瘤灶血管内渗以及播散到远处转移灶密切相关<sup>[6]</sup>,具有EMT特性的CTCs是导致三阴性乳腺癌发生转移的主要细胞<sup>[7-8]</sup>。

自噬是存在于真核细胞内一种普遍的生命现象,该现象对肿瘤细胞的生长和死亡具有重要的调控作用。beclin 1是一种抑癌基因,研究表明,存在beclin 1等位失活的小鼠罹患肿瘤的风险明显增高<sup>[9]</sup>;然而Gong等<sup>[10]</sup>发现beclin 1基因及自噬对肿瘤干细胞的致瘤性起着重要的作用。笔者团队前期在beclin 1诱导三阴性乳腺癌自噬方面已做了相关工作,结果显示在正常和低氧环境下,转染beclin 1基因促进BT549细胞发生自噬及凋亡,抑制细胞增殖并降低其迁移能力<sup>[3]</sup>。

为探讨beclin 1基因对EMT的影响,笔者发现在正常环境下beclin 1基因可抑制BT549细胞发生EMT。基于此结果,本实验通过慢病毒感染BT549细胞使beclin 1基因稳定表达,低氧培养12 h和24 h后结果显示:短程低氧环境下beclin 1基因亦可上调BT549细胞的上皮标志物E-cadherin表达水平,下调细胞的间皮标志物N-cadherin、vimentin、fibronectin表达水平,抑制其发生EMT;然而,与低氧12 h比较,细胞低氧24 h后E-cadherin表达水平下调、N-cadherin、vimentin、fibronectin表达水平上调,beclin 1与低氧环境对EMT的影响存在交互作用;值得一提的是,有研究认为在低氧条件下产生的低氧诱导因子-1α可以通过上调snail的转录促进肿瘤细胞发生EMT<sup>[11]</sup>,这一现象与本研究相符,至于长程低氧与beclin 1基因的相互作用对EMT的最终效应如何还需进一步研究。但可以肯定的是beclin 1基因在短程低氧环境下可抑制BT549细胞的EMT,其机制与Wnt/β-catenin信号通路相关,这进一步验证了部分学者的相关研究<sup>[12-13]</sup>。Li等<sup>[14]</sup>发现,饥饿引起肝细胞癌的自噬可通过EMT的发生提高细胞的侵袭性,这似乎与本研究结果不一致。笔者认为这可能与自噬的程度、发生自噬的条件等有关。

虽然beclin 1基因在BT549细胞中的过表达于短程低氧环境下抑制细胞的EMT,但使其发生自噬,有效应对了低氧的应激,促进了细胞的存活,为以后肿瘤的复发留下了隐患。有关beclin 1基因对三阴性乳腺癌细胞的影响还需继续研究,从而为其在乳腺癌的临床应用提供有力的依据。

## 参 考 文 献

- [1] Jemal A, Bray F, Center MM, et al. Global cancer statistics [J]. CA Cancer J Clin, 2011, 61(2): 69-90.
- [2] Yu L, McPhee CK, Zheng L, et al. Termination of autophagy and reformation of lysosomes regulated by mTOR [J]. Nature, 2010, 465(7300): 942-946.
- [3] 原红军,吴爱国,王梦川,等.正常和低氧环境下转染beclin-1对乳腺癌细胞BT-549的抑制作用[J/CD].中华乳腺病杂志:电子版,2012,6(4):383-393.
- [4] Sarrió D, Rodriguez-Pinilla SM, Hardisson D, et al. Epithelial-mesenchymal transition in breast cancer relates to the basal-like phenotype [J]. Cancer Res, 2008, 68(4): 989-997.
- [5] Balic M, Williams A, Lin H, et al. Circulating tumor cells: from bench to bedside [J]. Annu Rev Med, 2013, 64: 31-44.
- [6] Lee JM, Dedhar S, Kalluri R, et al. The epithelial-mesenchymal transition: new insights in signaling, development, and disease [J]. J Cell Biol, 2006, 172(7): 973-981.
- [7] Yu M, Bardia A, Wittner BS, et al. Circulating breast tumor cells exhibit dynamic changes in epithelial and mesenchymal composition [J]. Science, 2013, 339(6119): 580-584.
- [8] Ksiazkiewicz M, Markiewicz A, Zaczek AJ. Epithelial-mesenchymal transition: a hallmark in metastasis formation linking circulating tumor cells and cancer stem cells [J]. Pathobiology, 2012, 79(4): 195-208.
- [9] Qu X, Yu J, Bhagat G, et al. Promotion of tumorigenesis by heterozygous disruption of the beclin 1 autophagy gene [J]. J Clin Invest, 2003, 112(12): 1809-1820.
- [10] Gong C, Bauvy C, Tonelli G, et al. Beclin 1 and autophagy are required for the tumorigenicity of breast cancer stem-like/progenitor cells [J]. Oncogene, 2013, 32(18): 2261-2272.
- [11] Zhang L, Huang G, Li X, et al. Hypoxia induces epithelial-mesenchymal transition via activation of SNAI1 by hypoxia-inducible factor-1α in hepatocellular carcinoma [J]. BMC Cancer, 2013, 13: 108.
- [12] van der Velden JL, Guala AS, Leggett SE, et al. Induction of a mesenchymal expression program in lung epithelial cells by wingless protein (Wnt)/β-catenin requires the presence of c-Jun N-terminal kinase-1 (JNK1) [J]. Am J Respir Cell Mol Biol, 2012, 47(3): 306-314.
- [13] Yook JI, Li XY, Ota I, et al. A Wnt-Axin2-GSK3β cascade

- regulates Snail1 activity in breast cancer cells [J]. Nat Cell Biol, 2006, 8(12): 1398-1406.
- [14] Li J, Yang B, Zhou Q, et al. Autophagy promotes hepatocellular carcinoma cell invasion through activation of epithelial-mesenchymal transition [J]. Carcinogenesis, 2013, 34(6): 1343-1351.

(收稿日期:2013-11-12)

(本文编辑:刘军兰)

郑临海,吴爱国,范旭龙,等.短程低氧条件下乳腺癌细胞BT549表达beclin 1基因对上皮间质转化的影响[J/CD].中华乳腺病杂志:电子版,2014,8(1):13-21.

